

پیش‌بینی نشست منطقه‌ای زمین به روش محاسبه برگشتی و تأثیر نشست بر شبکه فاضلاب

محمد محسن توفیق^۱

سید طaha طباطبائی عقدا^۲

(دريافت ۸۵/۷/۱۱ پذيرش ۸۷/۱۱/۲۶)

چکيده

يکی از مهم‌ترین علل نشست منطقه‌ای زمین، برداشت بیش از حد آب زیرزمینی است. نشست‌های نامساوی سبب ايجاد شکافهاي در سطح زمین، خسارات به سازه‌ها، جاده‌ها، تاسيسات شهری، مسیر راه آهن و همچنین باعث تعغير شيب کانال‌های آبياري، مجاري آب و سیستم فاضلاب شهری می‌شود. برای مدل‌سازی نشست بر اثر افت سطح آب زیرزمینی، مدل اجزای محدود تحکیم کوپل تهیه و به کار گرفته شد. این مدل بر اساس تئوري تحکیم سه بعدی باعث فرمول‌بندی شده است. در این تحقیق شهر رفسنجان برای مطالعه موردي در نظر گرفته شد. به این منظور مجموعه اطلاعات مؤثر و مرتبط با نشست زمین از جمله نقشه‌های زمین‌شناسی، ژئوفیزیک، آبهای زیرزمینی، پروفیل خاک و نشست‌های اندازه‌گیری شده در منطقه تهیه شد. با توجه به کمبود اطلاعات آزمایشگاهی از پروفیل خاک مناطق مختلف، با اندازه‌گیری میزان نشست و انجام محاسبه برگشتی در چندین نقطه، اطلاعات لازم برای تهیه مدل در سایر مناطق شهر فراهم شد. سپس با تهیه مدل نرم‌افزاری، میزان و روند نشست شهر رفسنجان در سالهای آتی، پیش‌بینی و تأثیرات آن بر شبکه فاضلاب مشخص گردید.

واژه‌های کلیدی: فرونشست منطقه‌ای، برداشت آب زیرزمینی، تحکیم، شبکه فاضلاب، رفسنجان.

Land Subsidence Prediction by Back Calculation Method and its Effects on Sewage Network

Mohammad Mohsen Toufigh¹

Seyed Taha Tabatabaei Aghda²

(Received Oct. 2, 2006 Accepted Feb. 14, 2009)

Abstract

Groundwater overdraft is one of the main reasons of land subsidence. Differential subsidence leads to earth fissures and damages to structures, roads, railroads, pipelines, irrigation canals, and sewage networks. In order to simulate land subsidence due to groundwater overdraft, a fully coupled finite element consolidation model was developed. Formulation of finite element was based on Biot three-dimensional consolidation theory. Land subsidence studies in Rafsanjan City were conducted by collecting and analyzing data on geology, geophysics, hydrology, soil properties, and observed land subsidence. Due to lack of sufficient experimental data about different soil profiles, land subsidence monitoring and back calculation were used in several spots to obtain the necessary data for use in other places. A computer model was finally developed to predict the subsidence of the city and its effects on the sewage network were studied.

Keywords: Land subsidence, Groundwater overdraft, Consolidation, Sewage network, Rafsanjan.

1. Associate Professor of Civil Engineering, Bahonar University, Kerman
2. MSc. of Geotechnical Eng., Building and Housing Research Center of Iran, (Corresponding Author), (+98) 9133581905, taha.taba@gmail.com

۱- دانشيار يخشن مهندسي عمران، دانشگاه شهيد باهنر، كرمان
۲- كارشناس ارشد مكانيك خاک و پي، مرکز تحقیقات ساختمان و مسکن
نویسنده مسئول (۰۹۱۳۳۵۸۱۹۰۵)، taha.taba@gmail.com

۱- مقدمه

نشست زمین^۱، به علت پایین رفتن سطح آن در اثر تغییر شکل و جابه جایی های صورت گرفته در لایه های زیرین خاک اتفاق می افتد. در ۸۰ درصد موارد علت اصلی نشست، استخراج بیش از حد آب از سفره های آب زیرزمینی است [۱]. افزایش وزن ناشی از خروج آب از منافذ لایه های شن و ماسه واقع بر یک بستر رسی و سیلتی، باعث فشردنگی لایه های رس و سیلت می گردد. فشردنگی خاک ریزدانه اشباع با خروج آب منفذی آن، با فرایند زمان بر تحکیم^۲ انجام می گیرد. تحکیم و فشردنگی تدریجی این لایه ها، باعث نشست و ترک خوردنگی سطح زمین می شود.

نشست ناشی از افت آب زیرزمینی، در لایه های زیرین خاک اتفاق می افتد و به این ترتیب لوله های فاضلاب که در عمق کم، قرار دارند، همراه با خاک مجاورشان جابه جا می شوند. اختلاف نشست در مسیر لوله ها باعث تغییر شیب، ترک خوردنگی و جدا شدنگی لوله ها می شود. در مواردی اختلاف نشست به حدی است که شیب لوله معکوس شده و انتقال فاضلاب متوقف می گردد [۲].

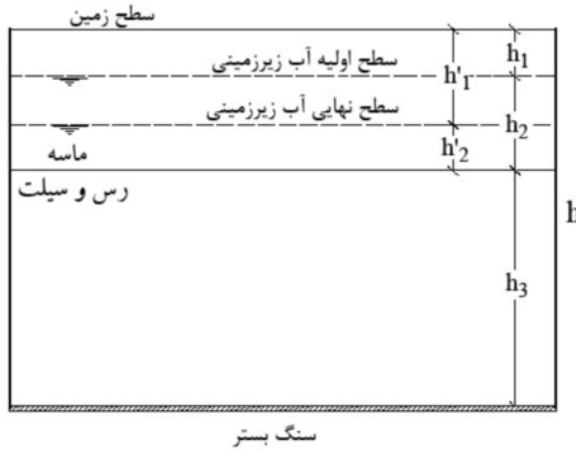
۲- اثر افت سطح آب زیرزمینی بر تنش اعمالی به لایه های زیرین خاک

با کاهش فشار آب منفذی (u) و با این فرض که تغییر وزن مخصوص خاک در اثر افت آب ناچیز است، تغییرات تنش کل (σ) ناچیز بوده و بر اساس اصل تنش موثر، تنش موثر (σ') در لایه های خاک افزایش می یابد. به صورت معادل می توان تصور کرد که فشار آب منفذی کاهش پیدا نکرده است، بلکه افزایش تنش کل ناشی از اعمال بار خارجی، باعث افزایش تنش موثر گردیده است. بار خارجی معادل با افت سطح آب زیرزمینی به اندازه h را مطابق شکل ۱ می توان به صورت زیر محاسبه کرد

$$\begin{aligned} h &= h'_1 - h_1 = h_2 - h'_2 \\ \sigma'_{V_0} &= h_1 \gamma_{\text{sand}} + h_2 (\gamma_{\text{sat sand}} - \gamma_w) \\ \sigma'_{V_1} &= h'_1 \gamma_{\text{sand}} + h'_2 (\gamma_{\text{sat sand}} - \gamma_w) \\ &= (h + h_1) \gamma_{\text{sand}} + (h_2 - h_1)(\gamma_{\text{sat sand}} - \gamma_w) \\ \Delta \sigma'_{V} &= \sigma'_{V_1} - \sigma'_{V_0} = h \cdot \gamma_{\text{sand}} - h (\gamma_{\text{sat sand}} - \gamma_w) \\ &= [\gamma_{\text{sand}} - (\gamma_{\text{sat sand}} - \gamma_w)] h \end{aligned} \quad (1)$$

۲-۳- آب زیرزمینی

برداشت آماری سطح آب در دشت رفسنجان تنها پس از سال ۱۳۷۰ قابل استناد است. به این جهت زمان شروع محاسبات مهر



شکل ۱- تغییرات سطح آب زیرزمینی در پروفیل خاک

۳- مطالعه موردی شهر رفسنجان

شهر رفسنجان در ارتفاع ۱۵۱۰ متری از سطح دریا و مختصات جغرافیایی "۳۰°۲۴'۳۰" عرض شمالی و "۵۵°۵۹'۳۰" طول شرقی واقع شده است. مساحت این شهر ۷۶۴ کیلومتر مربع و جمعیت آن در حال حاضر حدود ۱۳۰,۰۰۰ نفر برآورده شده است. رفسنجان دارای تابستان های گرم و زمستان های سرد و خشک می باشد. میزان بارندگی در این شهر به ترتیب در سالهای آبی ۸۲-۸۳ و ۸۱-۸۲ به میزان ۱/۲ و ۶۱/۲ میلی متر در سال است. [۴].

۳- زمین شناسی

از نقطه نظر زمین شناسی، دشت رفسنجان منشأ تکتونیکی دارد و دو زون ارومیه-دختر و ایران مرکزی را از هم جدا می کند. پایه نهشته های کواترنری در این منطقه رسوبات دریاچه ای شامل سیلت، رس همراه با نمک و زپیس دانه ریز است. مخروط افکنه جوان، نهشته های بادی (تل ماسه) و پهنه های لای و نمک دیگر رسوبات دشت را تشکیل می دهند. این رسوبات با افزایش فاصله از منشأ آنها یعنی ارتفاعات، از دانه درشت به ریزدانه درجه بندی می شوند. [۵].

¹ Land Subsidence
² Consolidation

زیرزمینی است و در این پژوهه امکان تأمین هزینه‌های این آزمایش‌ها می‌سر نبوده، پارامترهای خاکی که تأثیر کمتری بر نشت در اند، بر اساس تحقیقات انجام شده قبلی انتخاب و در مناطق مختلف، ثابت در نظر گرفته شدند (جدول ۱) [۶].

جدول ۱- مشخصات آزمایشگاهی ثابت برای نمونه‌های ریزدانه و درشت دانه خاک منطقه [۶]

مشخصات لایه درشت دانه	مشخصات لایه ریزدانه
$E = 70000 \text{ (kN/m}^2)$	
$k = 10^{-8} \text{ (m/sec)}$	$k = 10^{-5} \text{ (m/sec)}$
$n = 0.4 \text{ و } \mu = 0.30$	$n = 0.3 \text{ و } \mu = 0.25$
	$m_v = 1.19 \times 10^{-5} \text{ (m}^2/\text{kN)}$

لایه درشت دانه طبق مشخصات جدول ۱ از ماسه متراکم (با قابلیت نشت کم) تشکیل شده است، بنابراین بیشترین نشت در لایه ریزدانه (لایه زیرین) اتفاق می‌افتد. با توجه به اینکه پارامترهای مدل الاستیستیه و قابلیت فشردگی حجمی در نشت تحکیمی نقش اساسی دارند، این پارامترها از طریق محاسبه بازگشتی به صورت تقریبی محاسبه می‌شوند. به این منظور پارامتر مدل الاستیستیه در مناطقی که میزان نشت آنها با استفاده از نقشه‌برداری به دست آمده است، متغیر در نظر گرفته می‌شود و میزان آن با روش محاسبه بازگشتی به دست می‌آید. سپس پارامتر m_v از طریق رابطه ۲ محاسبه می‌شود. با جایگذاری مجدد m_v در چندین مرحله، مقدار صحیح این دو پارامتر به دست می‌آید

$$\frac{1}{m_v} = \frac{E(1-\mu)}{(1+\mu)(1-2\mu)} \quad (2)$$

که در آن

m_v قابلیت فشردگی حجمی، E مدل الاستیستیه و μ ضریب پواسن است.

۳- داده‌های نقشه‌برداری

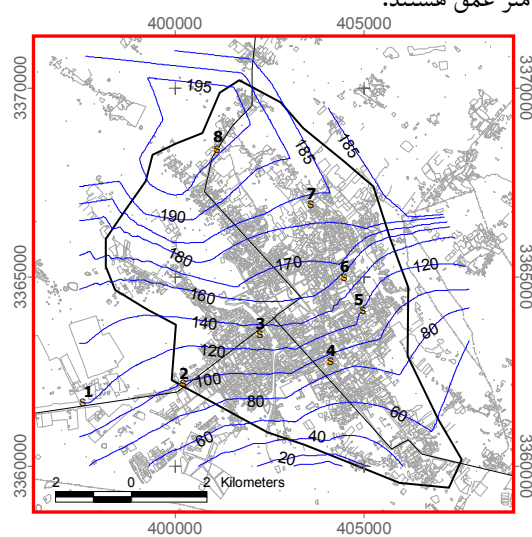
میزان نشت شهر، در تعداد محدودی نقاط مرجع سازمان نقشه‌برداری اندازه‌گیری شد. تعداد این نقاط بسیار محدود بود و صرفاً در محدوده شهری قرار داشتند. در شکل ۲، هشت نقطه انتخاب شده بر اساس شماره آنها ترسیم شده است. با تعیین موقعیت این نقاط در نرم‌افزار Arc View که از انواع نرم‌افزارهای GIS است، مشخصات لایه‌بندی زمین، سطح آب و ... در محل قرارگیری تعیین می‌گردد.

ماه این سال در نظر گرفته شد و نتایج محاسبات نشت برای سال ۱۳۸۵ و ۱۵ سال آینده (سال ۱۴۰۰) ارائه گردید. میزان افت سطح آب زیرزمینی در شهر رفسنجان تغییرات کمی دارد و بر اساس چاههای پیزوومتری اطراف شهر، ۰/۶۷ متر در سال محاسبه شده است. با توجه به منوعیت حفر چاههای جدید و روند تقریباً یکنواخت افت آب در سالهای گذشته، محاسبات با فرض ادامه یافتن این افت در سالهای آینده، انجام شد.

۳- ضخامت آبرفت و رسوبات ریزدانه

برای تعیین ضخامت آبرفت در سامانه اطلاعات جغرافیایی^۱ با استفاده از مدل رقومی ارتفاعی^۲ در مقیاس ۱:۲۵۰۰۰ و نقشه تراز سنگ کف، نقشه تغییرات ضخامت آبرفت محاسبه گردیده است. بررسی این نقشه نشان می‌دهد که ضخامت آبرفت در شهر رفسنجان بین ۰ تا ۲۶۰ متر متغیر است.

پروفیل خاک حوالی شهر را می‌توان به طور کلی به دو لایه ریزدانه (لایه زیرین) و درشت دانه تقسیم کرد. ضخامت این لایه‌ها بر اساس تحلیلهای ژئوفیزیک و تلفیق این داده‌ها با داده‌های زمین‌شناسی و اطلاعات پروفیل چاهها، تخمین زده شد. در شکل ۲ نقشه ضخامت لایه ریزدانه ترسیم شده است. بر اساس این نقشه مناطق شمالی شهر دارای بیشترین ضخامت لایه‌های رس با حدود ۲۰۰ متر عمق هستند.



شکل ۲- ضخامت رسوبات ریزدانه در محدوده شهر بر حسب متر و موقعیت نقاط محاسباتی

۴- مشخصات آزمایشگاهی خاک

با توجه به اینکه تعیین دقیق پارامترهای مؤثر در نشت، مستلزم انجام آزمایش‌های پرهزینه ژئوتکنیک در اعماق زیر سطح آب

¹ Geographic Information System (GIS)
² Digital Elevation Model (DEM)

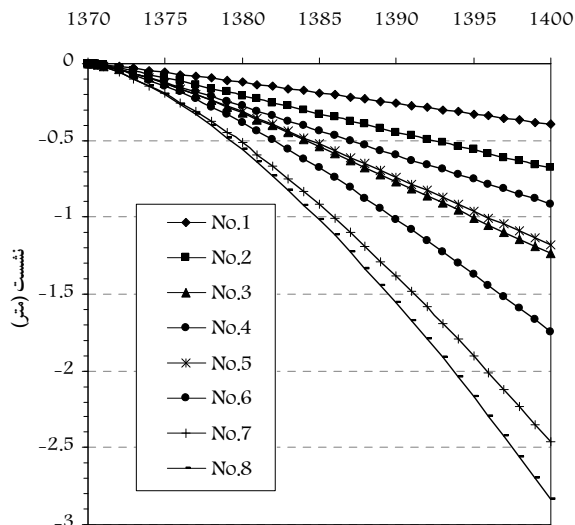
جدول ۲- اطلاعات ورودی برای نقاط مختلف شهر

ایستگاه	ضخامت کل (متر)	ضخامت ریزدانه (متر)	سطح آب سال ۱۴۰۰(متر)	سطح آب سال ۸۵(متر)	نشست در سال ۱۳۸۳(سانتی متر)
۱	۲۰۰	۱۲۰	۷۰	۶۰	۱/۳
۲	۲۱۰	۱۰۰	۷۰	۶۰	۲/۳
۳	۲۵۰	۱۳۰	۶۵	۵۵	۴/۵
۴	۲۴۰	۹۰	۶۵	۵۵	۳
۵	۲۴۰	۱۲۰	۶۵	۵۵	۴/۱
۶	۲۶۰	۱۶۰	۶۵	۵۵	۶/۷
۷	۲۶۰	۱۸۰	۶۰	۵۰	۸/۹
۸	۲۵۰	۲۰۰	۵۵	۴۵	۱۱/۶

صورتی است که بیشترین اختلاف نشست در شهر حدود ۲/۵ متر است.

برای ترسیم دقیق‌تر منحنی‌های همنشست در شهر، پنج نقطه کمکی بر روی مرزهای محدوده شهر انتخاب شد. پارامتر E در این نقاط بر مبنای منحنی‌های مدول الاستیسیته شهر که بر اساس مدول هشت نقطه قبلی ترسیم شده بود، تعیین شد و با تعیین دیگر مشخصات این نقاط در محیط GIS، میزان نشست این مناطق

زمان (سال)



شکل ۳- نمودار نشست-زمان بین سالهای ۱۳۷۰ تا ۱۴۰۰

محاسبه گردید. با به دست آوردن میزان نشست محاسباتی در ۱۳ نقطه، منحنی‌های هم نشست در سالهای مختلف قابل ترسیم است.

شکل ۴ نشست محاسباتی را در سال ۱۳۸۵ نشان می‌دهد.

مطابق شکل ۲، نتایج به دست آمده با نقشه ضخامت لایه‌های ریزدانه تطابق خوبی دارد. میزان نشست در مناطق شمالی یا شمال شرقی شهر با توجه به اینکه ضخامت لایه ریزدانه زیاد است، بیشترین مقدار را دارد. قسمتهای غربی یا جنوب غربی دارای

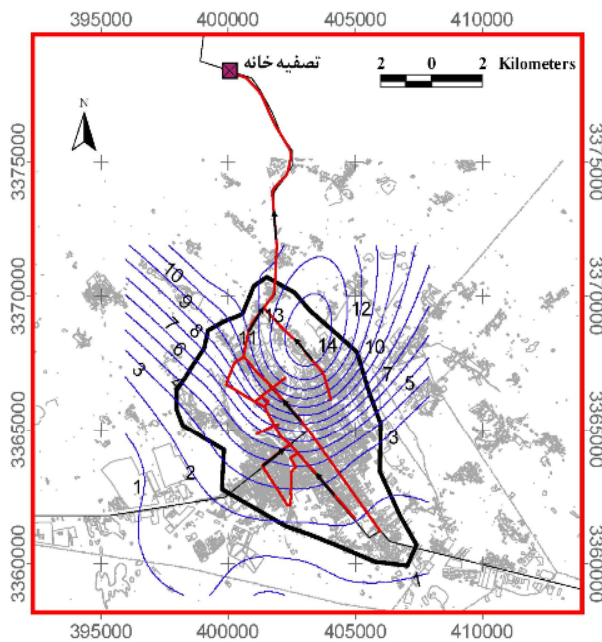
۴- مدل‌سازی با استفاده از روش المان‌های محدود

برای مدل‌سازی نشست تحکیمی در نقاط انتخاب شده، از نرم‌افزار طراحی شده در دانشگاه کرمان به منظور مدل‌سازی نشست بر اساس تئوری تحکیم بایوت^۱ و مدل اجزای محدود تحکیم کوپل در محیط اشباع استفاده شد [۶]. با اعمال شرایط مرزی در مدل، جابه‌جایی افقی در طرفین مدل و جابه‌جایی قائم در محل تماس خاک با سنگ بستر، صفر تعريف شد. برای انجام آنالیز نشست به روش محاسبه برگشته در نقاط تعیین شده، ابتدا مقادیر E و m_7 به صورت تقریبی وارد شد. در این مرحله میزان نشست محاسبه شده در سال سیزدهم (۱۳۸۳) که سال برداشت‌های نقشه‌برداری بود با میزان نشست‌های اندازه‌گیری شده مقایسه گردید. با توجه به اختلاف نشست محاسباتی و واقعی، مقادیر E و m_7 در چندین مرحله کالیبره شد.

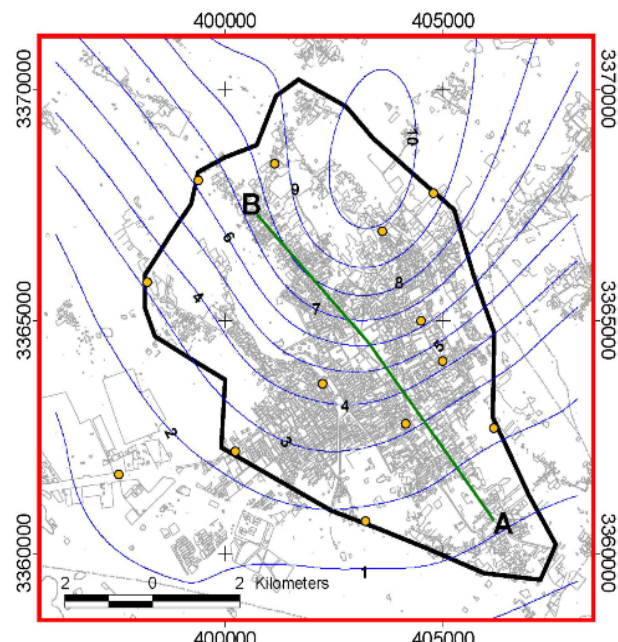
در جدول ۲ داده‌های ورودی مدل یعنی ضخامت لایه‌ها، سطح آب و میزان نشست اندازه‌گیری شده در هشت ناحیه شهر، مشخص شده است.

نمودار نشست-زمان برای هشت نقطه محاسبه شده در شکل ۳ ترسیم شده است. نشست زمین در ایستگاه‌هایی که در آنها مدول الاستیسیته بالای 15000 kN/m^2 است (شماره ۱ تا ۵)، الگویی تقریباً خطی دارد. در نقاطی که پروفیل خاک آنها دارای لایه‌ای ریزدانه با مدول الاستیسیته زیر 14000 kN/m^2 (شماره ۸ تا ۸) است، با افزایش زمان، نشست افزایش می‌یابد. لذا با توجه به این نمودار نقاط شمال و شمال شرقی شهر در سالهای آینده، اختلاف نشست بیشتری نسبت به دیگر مناطق شهر پیدا می‌کنند. براساس این پیش‌بینی حداقل نشست بین سالهای ۱۳۷۰ تا ۱۴۰۰، در شمال شهر رفسنجان و به میزان $2/8$ متر خواهد بود. این در

¹ Biot

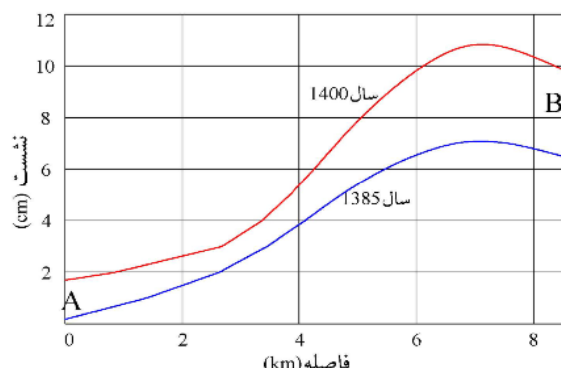


شکل ۵- منحنی های هم نشت سالیانه پیش بینی شده شهر رفسنجان در سال ۱۴۰۰ (بر حسب سانتی متر)



شکل ۴- منحنی های هم نشت سالیانه شهر رفسنجان در سال ۱۳۸۵ (بر حسب سانتی متر)

در مسیر اصلی فاضلاب (جنوب به شمال) در محدوده شهر، با حرکت به سمت شمال، نشت افزایش خواهد یافت. شکل ۶ میزان نشت سالیانه یکی از مسیرهای اصلی فاضلاب را نشان می‌دهد. این خط لوله در سال ۱۴۰۰، بین کیلومتر ۳ تا ۷، اختلاف نشتی به میزان ۲ سانتی متر در هر کیلومتر خواهد داشت. این در صورتی است که میزان اختلاف نشت این قسمت در سال ۱۳۸۵ کمتر از ۱/۵ سانتی متر در کیلومتر بوده است. بیشترین اختلاف نشت در این خط، طی ۱۵ سال به ۲۵ سانتی متر خواهد رسید. حداقل میزان نشت این لوله با اجرای آن از سال ۱۳۸۵، در نقاط شمالی حدود ۱/۴ متر پیش بینی می‌شود که با توجه به عدم یکنواختی خاک در طول مسیر، اختلاف نشت‌هایی بیش از مقادیر محاسباتی ایجاد خواهد نمود.



شکل ۶- میزان نشت سالیانه در مسیر A-B مشخص شده در شکل ۴

نشست کمتری است، زیرا پروفیل خاک در این نواحی قابلیت نشت کمی دارد. بنابراین رفسنجان به دلیل واقع شدن در حد فاصل رسبابات ریزدانه و درشت دانه، دارای اختلاف نشت زیادی در محدوده شهر است.

۵- پیش بینی میزان نشت های آینده و تأثیر آن بر شبکه فاضلاب

شکل ۵ منحنی های هم نشت سالیانه را در سال ۱۴۰۰ نشان می‌دهد. بر اساس این شکل، حداقل میزان نشت سالانه در مناطقی از شهر به بیش از ۱۴ سانتی متر در سال خواهد رسید. تغییرات سطح زمین در این سال در مناطق با خاک درشت دانه تغییر چندانی با سال ۱۳۸۵ ندارد (شکل ۳). ولی در مناطق شمالی شهر نشت ها افزایش خواهد یافت. بنابراین با گذشت زمان، میزان اختلاف نشت به وجود آمده در شهر افزایش خواهد یافت.

در طرح اولیه فاضلاب شهر رفسنجان مطابق شکل ۵، مسیرهای اصلی انتقال از وسط شهر و در راستای جنوب شرق به شمال غرب عبور کرده و جریان های فرعی با راستای شمال شرق به جنوب غرب یا بر عکس به مسیر اصلی متنه می‌شود. با توجه به روند افزایش نشت از غرب به سمت شرق شهر، در لوله هایی که جهت شرقی - غربی دارند، سمت شرقی لوله نشت بیشتری خواهد داشت.

این اختلاف نشست در بیشتر موارد شبیه هیدرولیکی لوله‌ها را افزایش می‌دهد. علاوه بر این به دلیل تغییرات در چگونگی لایه‌بندی خاک و غیرهمگن بودن مصالح، در موارد زیادی نشست‌ها به صورت موضعی نمایان می‌شود. نشست‌های موضعی در مناطقی مانند مناطق شمالی شهر، که میزان سالیانه نشست‌ها زیاد است، می‌تواند باعث شکستگی و جداشده‌گی لوله‌ها شود. بررسی این نقاط مستلزم رفتارسنجی دقیق حرکات قائم و افقی زمین و نیز مطالعه میدانی خسارات واردہ به سازه و سطح خیابان‌ها در این مناطق است. این اطلاعات می‌تواند زمینه طراحی مقاوم شبکه فاضلاب در برابر نشست و ترک خوردگی را فراهم سازد.

۶- نتیجه گیری

در مطالعه موردنی مناطقی که اطلاعات کمی از پارامترهای ژئوتکنیکی آنها موجود است، روش محاسبه برگشتی، یکی از ارزان‌ترین و کاربردی‌ترین روش‌های مدل‌سازی و پهن‌بندی نشست به شمار می‌رود. به این ترتیب با داشتن میزان افت آب و نشست زمین می‌توان پارامترهای خاک منطقه را به طور کلی تعیین کرد و برای محاسبه نشست در مناطق اطراف استفاده نمود.

با توجه به نتایج بدست آمده در شهر رفسنجان، میزان اختلاف نشست طی ۱۵ سال در بعضی مناطق به بیش از ۲۵ سانتی‌متر در کیلومتر خواهد رسید. با توجه به توپوگرافی شهر و جهت خط انتقال،

۷- مراجع

- 1- Galloway, D., Jones, D.R., and Ingebritsen, S.E. (1999). *Land subsidence in the united states*, U.S. Geological Survey, Virginia. USA.
- 2- Poland, J.F. (1984). *Guidebook to studies of land subsidence due to ground-water withdrawal*, UNESCO/IH, Michigan. USA.
- 3- طباطبایی عقدا، س.ط. (۱۳۸۵). ”پیش‌بینی و پهن‌بندی نشست منطقه‌ای زمین در اثر برداشت آب‌های زیرزمینی در رفسنجان.“ پایان‌نامه کارشناسی ارشد بخش عمران، دانشگاه شهید باهنر، کرمان.
- 4- Toufigh, M. M., and Tabatabaee Aghda, S.T (2004). “Land subsidence and its consequences of large groundwater withdrawal in Rafsanjan, Iran.” Workshop on Management of Aquifer Recharge and Water Harvesting in Arid and Semi-arid Regions of Asia, International Center on Qanats, Iran, 253-261.
- 5- Khamehchiyan, M. (1995). *Land subsidence and earth fissures due to withdrawal of groundwater in Rafsanjan plain, Iran*, Reports of Faculty of Science and Engineering, 23 (2), 81-91.
- 6- Toufigh, M. M., and Shafiei, B. (1996). “Finite element consolidation model for subsidence problem based on Biot's three dimensional theory.” *Indian Geotechnical Journal*, 26(3), 1-8.